3

Estudo da Barra de Geração [1]

3.1

Introdução

No Capítulo 2, tratou-se do máximo fluxo de potência ativa e reativa que pode chegar à barra de carga, limitando a máxima carga que pode ser alimentada, e do possível efeito contrário de ações de controle de tensão, por exemplo, quando da conexão de um capacitor na barra de carga. Neste capítulo trata-se do máximo fluxo de potência ativa e reativa que pode sair da barra terminal do gerador, entrando na rede de transmissão ou distribuição, e do possível efeito contrário de ações de controle de tensão. No caso de geradores e compensadores síncronos, trata-se do controle de tensão através da tensão de excitação.

Dados os parâmetros da linha de transmissão e a tensão na barra de carga, verifica-se o lugar geométrico da tensão de geração para diferentes níveis de potência ativa e reativa, mantendo o fator de potência constante, saindo da barra de geração.

Para cada fator de potência na geração existe um lugar geométrico das tensões na barra de geração. Essas soluções pertencem à região A, à região B, ou à fronteira. A solução de tensão na barra de geração que pertence à fronteira é um único ponto que corresponde á máxima injeção de potência ativa (e reativa) para aquele fator de potência constante. Portanto, a fronteira é formada por um conjunto de pontos, cada um correspondendo à injeção máxima para cada fator de potência na geração.

3.2

Potência Ativa e Reativa Saindo da Barra de Geração

Utilizando-se o circuito de 2 barras, mostrado na Figura 3.1, deduz-se as equações da potência ativa e reativa "saindo" da barra de geração.

$$\dot{S}_{GL}^{*} = P_{GL} - j.Q_{GL} = \dot{V}_{G}^{*}.(\dot{I}_{GL} + \dot{I}_{GT})$$
 (3.1)

$$\dot{V}_{G}^{*} = V_{G}.\angle -\theta_{G} \tag{3.2}$$

$$\dot{I}_{GL} = \frac{\left(V_{G}.\angle\theta_{G} - V_{L}\angle\theta_{L}\right)}{Z_{t}\angle\alpha_{t}} \tag{3.3}$$

$$\dot{I}_{GT} = \frac{V_G \cdot \angle \theta_G}{Z_g \angle \alpha_g} \tag{3.4}$$

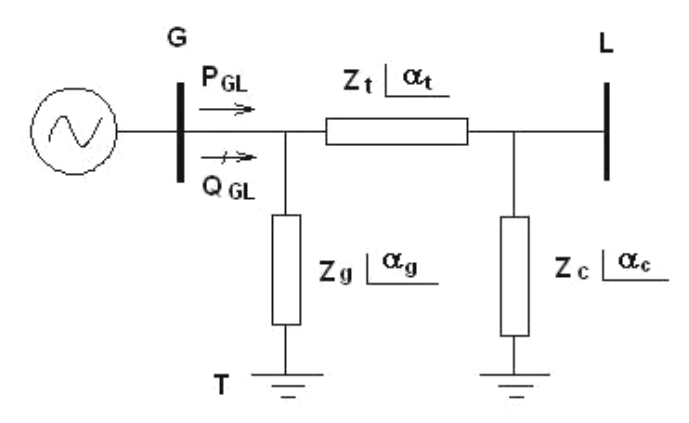


Figura 3.1 - Potência Ativa e Reativa Saindo da Barra de Geração num Circuito de Duas Barras

Substituindo-se (3.2), (3.3) e (3.4) em (3.1), e separando a parte real e imaginária da potência aparente, fica:

$$P_{GL} = V_{G}^{2} \cdot \left[\frac{\cos \alpha_{t}}{Z_{t}} + \frac{\cos \alpha_{g}}{Z_{g}} \right] - \left(\frac{V_{L} \cdot V_{G}}{Z_{t}} \right) \cdot \cos(\theta_{GL} + \alpha_{t})$$
 (3.5)

$$Q_{GL} = V_{G}^{2} \left[\frac{sen\alpha_{t}}{Z_{t}} + \frac{sen\alpha_{g}}{Z_{g}} \right] - \left(\frac{V_{L}.V_{G}}{Z_{t}} \right) . sen(\theta_{GL} + \alpha_{t})$$
 (3.6)

De (3.5) e (3.6) é definido a equação da potência aparente de geração:

$$S_{GL} = \sqrt{(P_{GL})^2 + (Q_{GL})^2}$$
 (3.7)

Para cada P_{GL} constante, variando-se θ_{GL} em (3.5), pode-se calcular V_G e, portanto, traçar-se a curva para P constante no plano θV .

Para cada Q_{GL} constante, variando-se θ_{GL} em (3.6), pode-se calcular V_G e, portanto, traçar-se a curva para Q constante no plano θV .

A tangente do ângulo do fator de potência na geração é:

$$tan \phi = \frac{Q_{GL}}{P_{GL}} \tag{3.8}$$

Substituindo-se (3.5) e (3.6) em (3.8) e colocando-se em evidência a tensão na barra de geração V_G :

$$V_{G} = \frac{V_{L}.[sen(\theta_{GL} + \alpha_{t}) - tan(\phi).cos(\theta_{GL} + \alpha_{t})]}{\left[sen(\alpha_{t}) - tan(\phi).cos(\alpha_{t}) - tan(\phi).\frac{Z_{t}}{Z_{g}}.cos(\alpha_{g}) + \frac{Z_{t}}{Z_{g}}.sen(\alpha_{g})\right]}$$
(3.9)

Para ϕ constante, variando-se θ_{GL} em (3.9), pode-se calcular V_G e, portanto, traçar-se a curva para ϕ constante no plano θV .

3.3

Tensão Crítica na Barra de Geração

Se os fluxos de potência ativa P_{GL} e reativa Q_{GL} correspondem à máxima potência saindo da barra de geração para ângulo do fator de potência ϕ , isto pode ser traduzido matematicamente: os vetores gradiente ∇P_{GL} e ∇Q_{GL} estão alinhados sob a mesma direção, como mostrado na Figura 3.2. Então, a seguinte relação pode ser escrita, onde λ é um escalar:

$$\nabla P_{GI} - \lambda \nabla Q_{GI} = 0 \tag{3.10}$$

A condição de otimalidade "gradientes alinhados" do problema "maximizar $P(V_G,\Theta_G)$ e $Q(V_G,\Theta_G)$ sujeito a ϕ =arctg(Q_{GL}/P_{GL}) = constante" pode, então, ser reescrita como:

$$\frac{\partial P_{GL}}{\partial \theta_{G}} - \lambda \frac{\partial Q_{GL}}{\partial \theta_{G}} = 0 \tag{3.11}$$

$$\frac{\partial P_{GL}}{\partial V_{G}} - \lambda \frac{\partial Q_{GL}}{\partial V_{G}} = 0 \tag{3.12}$$

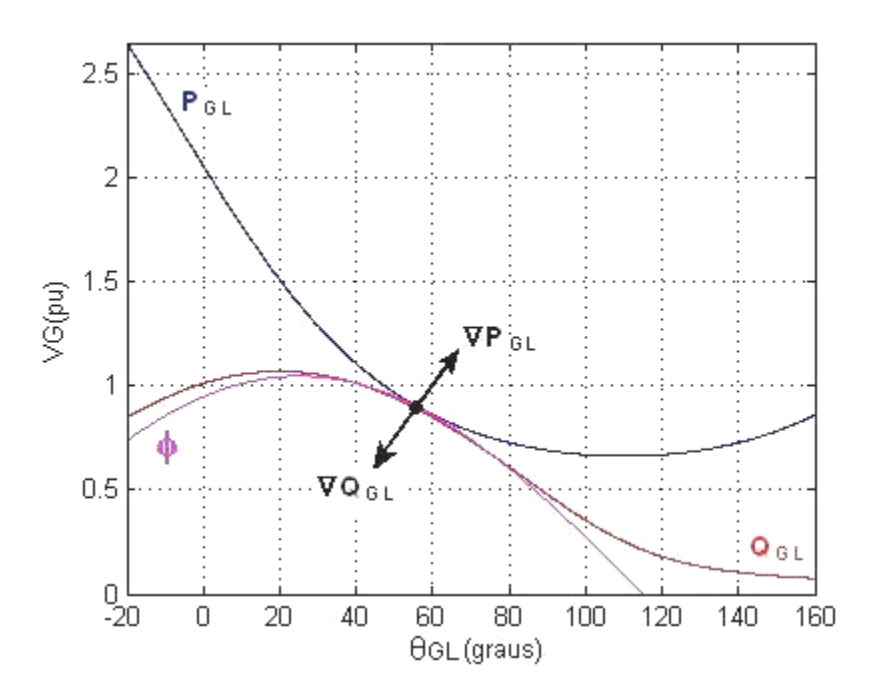


Figura 3.2 - Gradientes ∇P_{GL} e ∇Q_{GL} alinhados no Máximo Carregamento

Isto é equivalente ao determinante da matriz Jacobiano das duas equações de fluxo de carga correspondente à barra de geração, ser igualado à zero, isto é:

$$\left(\frac{\partial P_{GL}}{\partial \theta_{G}} * \frac{\partial Q_{GL}}{\partial V_{G}}\right) - \left(\frac{\partial P_{GL}}{\partial V_{G}} * \frac{\partial Q_{GL}}{\partial \theta_{G}}\right) = 0$$
(3.13)

Os componentes do vetor gradiente de potência ativa em relação ao ângulo e ao módulo da tensão na barra de geração são:

$$\frac{\partial P_{GL}}{\partial \theta_{G}} = \left(\frac{V_{L}.V_{G}}{Z_{t}}\right) \cdot sen(\theta_{GL} + \alpha_{t})$$
(3.14)

$$\frac{\partial P_{GL}}{\partial V_{G}} = 2.V_{G} \left[\frac{\cos \alpha_{t}}{Z_{t}} + \frac{\cos \alpha_{g}}{Z_{g}} \right] - \left(\frac{V_{L}}{Z_{t}} \right) \cos(\theta_{GL} + \alpha_{t})$$
 (3.15)

Os componentes do vetor gradiente de potência reativa em relação ao ângulo e ao módulo da tensão na barra de geração são:

$$\frac{\partial Q_{GL}}{\partial \theta_{G}} = -\left(\frac{V_{L}.V_{G}}{Z_{t}}\right) \cos(\theta_{GL} + \alpha_{t})$$
(3.16)

$$\frac{\partial Q_{GL}}{\partial V_{G}} = 2.V_{G} \cdot \left[\frac{sen\alpha_{t}}{Z_{t}} + \frac{sen\alpha_{g}}{Z_{g}} \right] - \left(\frac{V_{L}}{Z_{t}} \right) \cdot sen(\theta_{GL} + \alpha_{t})$$
 (3.17)

Substituindo-se (3.14), (3.15), (3.16) e (3.17) em (3.13) fica:

$$V_{G}^{C} = \frac{V_{L}}{2 \cdot \left[\cos(\theta_{GL}) + \left(\frac{Z_{t}}{Z_{g}} \right) \cdot \cos(\theta_{GL} + \alpha_{t} - \alpha_{g}) \right]}$$
(3.18)

que é o módulo da tensão na barra de geração quando o fluxo de potência que sai dela é máximo.

Para obter-se o valor do ângulo da tensão nessa condição de máximo, substituise o módulo da tensão crítica de (3.18) na outra condição de otimalidade do problema, ou seja, em (3.9).

Após manipulações algébricas e trigonométricas chega-se à fórmula:

$$tg(2.\theta_{GL}^{C}) = \left(\frac{sen(-\phi + \alpha_t) + (Z_t / Z_g).sen(-\phi + 2.\alpha_t - \alpha_g)}{-cos(-\phi + \alpha_t) - (Z_t / Z_g).cos(-\phi + 2.\alpha_t - \alpha_g)}\right)$$
(3.19)

A defasagem angular crítica entre a barra terminal do gerador e a barra de carga θ_{GL}^{C} pode ocorrer em qualquer dos quatro quadrantes, mas somente uma está associada à condição da máxima potência gerada e que garante alimentar a carga. Tudo depende do ângulo do fator de potência da geração e dos parâmetros do circuito π .

A partir dos resultados obtidos em [1], pode-se concluir de suas análises que para um circuito série de duas barras, a defasagem angular crítica entre a barra do gerador e a barra de carga pode ser calculada como:

$$\theta_{GL}^{C} = \frac{(\phi - \alpha_t)}{2}$$
 (3.20)

Deve-se notar que, em (3.20), o ângulo do fator de potência na geração ϕ , encontra-se no segundo ou terceiro quadrante. A análise foi feita considerando que a barra G e a barra L, respectivamente, trabalham como gerador e carga; e só assim a relação (3.20) é correta.

3.4

Avaliação das Condições de Estabilidade de Tensão em Barras de Tensão Controlada

A avaliação das chamadas "condições de estabilidade de tensão" consiste em comparar a geração no ponto de operação em análise com a geração máxima possível que poderia estar entrando na rede. Também é importante determinar se o ponto de operação está na parte superior (região normal de operação) ou inferior da curva SV (região anormal de operação).

Usando-se os valores de tensão em módulo e ângulo crítico definidos, respectivamente, em (3.18) e (3.19) é fácil determinar os valores da máxima geração, substituindo-os em (3.5) e (3.6):

$$P_{GL}^{C} = V_{G}^{C^{2}} \left[\frac{\cos \alpha_{t}}{Z_{t}} + \frac{\cos \alpha_{g}}{Z_{g}} \right] - \left(\frac{V_{L} \cdot V_{G}^{C}}{Z_{t}} \right) \cdot \cos(\theta_{GL}^{C} + \alpha_{t})$$
(3.21)

$$Q_{GL}^{C} = V_{G}^{C^{2}} \left[\frac{\operatorname{sen}\alpha_{t}}{Z_{t}} + \frac{\operatorname{sen}\alpha_{g}}{Z_{g}} \right] - \left(\frac{V_{L}.V_{G}^{C}}{Z_{t}} \right) \operatorname{sen}(\theta_{GL}^{C} + \alpha_{t})$$
(3.22)

De (3.21) e (3.22) é definido a máxima potência aparente de geração:

$$S_{GL}^{C} = \sqrt{(P_{GL}^{C})^{2} + (Q_{GL}^{C})^{2}}$$
 (3.23)

Então, para saber as condições de carregamento do circuito, calcula-se a "distância" entre a geração no ponto de operação em analise e máxima geração, como já dito. Utiliza-se o conceito de "margem de potência":

$$M = (S_{GL}^{C} - S_{GL}) \text{ em MVA}$$
 (3.24)

A margem pode ser expressa em valores por unidade para dar significado à comparação entre diferentes pontos de operação:

Se o ponto de operação em análise está na parte superior da curva SV, tem-se:

$$M = \left(1 - \frac{S_i}{S_i^c}\right) \text{ em pu de } S_m$$
 (3.25)

Se o ponto está na parte inferior da curva SV, tem-se:

$$M = \left(\frac{S_i^c}{S_i} - 1\right) \text{ em pu de } S_i$$
 (3.26)

Obviamente M=0 se $S_{GL}^{C} = S_{GL}$ na "ponta do nariz" da curva SV. Para determinar se o ponto de operação pertence à parte superior ou inferior da curva SV, o seguinte procedimento resolve a questão:

Substitui-se θ_{GL} do ponto de operação em análise na fórmula do módulo da tensão crítico V_G^C em (3.18), como ilustrado na Figura 3.3 e na Figura 3.4. Compara-se o valor encontrado $V_G^{C^*}$ com o módulo de tensão V_G no ponto de operação em análise:

- se $V_G^{>} V_G^{C^*}$ o ponto pertence à parte superior da curva SV, como na Figura 3.3,
- se $V_G < V_G^{C^*}$, pertence à parte inferior, como na Figura 3.4,
- se $V_G = V_G^{C^*}$ o ponto pertence à máxima potência que sai da barra do gerador.

Nesse último caso, também se tem $\theta_G = \theta_G^C$ e $V_G = V_G^{C^*} = V_G^C$.

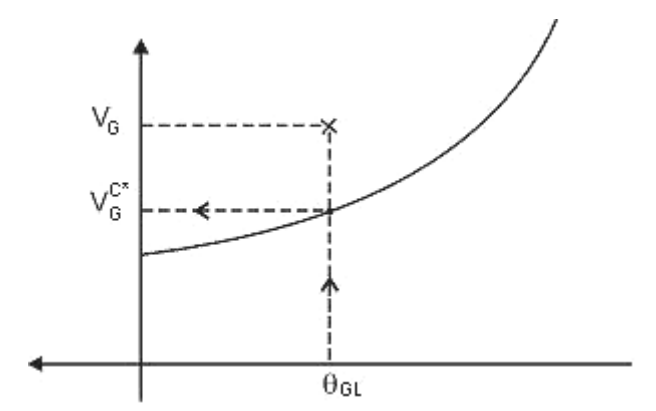


Figura 3.3 - Localização do Ponto de Operação na Parte Superior da Curva SV

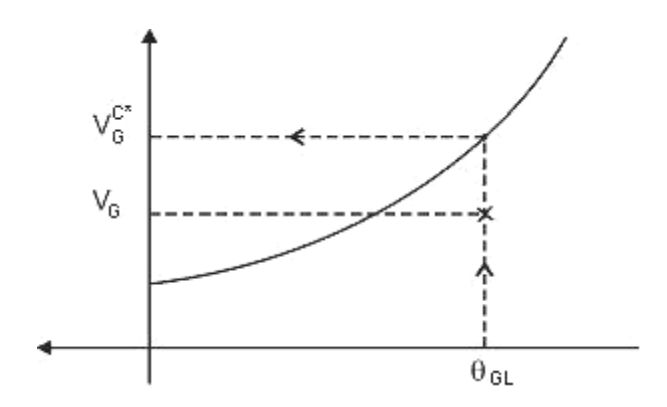


Figura 3.4 - Localização do Ponto de Operação na Parte Inferior da Curva SV

3.5 Conclusões

Neste capítulo, baseado no sistema de duas barras, foi desenvolvido um estudo para a barra de geração. Foi verificado que existe uma solução analítica para tensão crítica, em módulo e ângulo, na barra de geração, resultado da solução das condições de otimalidade do problema de otimização: "maximize o fluxo de potência ativa e reativa que sai da barra de geração para um dado fator de potência". Desta forma, é possível comparar a geração no ponto de operação em análise com a geração máxima possível que poderia estar entrando na rede.

Foi mencionado o possível efeito contrário de ações de controle de tensão em barras de tensão controlada. Para o sistema de 2 barras foi descrito um procedimento para verificar se o ponto de operação pertence a região normal,

anormal ou se pertence a ponta do nariz. Portanto, as barras PV têm importância fundamental no carregamento da rede, podem ser responsáveis por casos de colapso de tensão e necessitam ser estudadas.